

## ТЕНЗОРНАЯ МОДЕЛЬ МНОГОПОЛЮСНОЙ ТЕЛЕКОММУНИКАЦИОННОЙ СЕТИ

### Введение

В соответствии с количеством корреспондентов (источников и получателей), участвующих в процессе информационного обмена, в рамках телекоммуникационных сетей (ТКС) традиционно выделяют соединения типа «точка-точка», описываемые двухполюсными сетевыми моделями, и соединения «точка-многоточка» и «многоточка-точка», относящиеся к многополюсному случаю. Хотя графовые модели последних двух типов соединений отличаются лишь направлением передачи трафика, на практике их применение связано с решением совершенно разных задач: соединение «точка-многоточка» описывает беспроводные сети, радио- и телевидение, многоадресную рассылку в IP-сети, в то время как соединение «многоточка-точка» имеет место в случае пиринговых сетей, например, работающих по протоколу BitTorrent, или при получении комплексного сервиса, где отдельные атомарные сервисы предоставляются различными серверами, например, при реализации технологии облачных вычислений (Cloud Computing).

В рамках данной статьи внимание будет сосредоточено на многополюсных телекоммуникационных сетях, реализующих соединения «многоточка-точка». В данном случае несколько источников, например серверов некой распределенной файлообменной системы, одновременно адресует свой трафик к одному и тому же получателю, задействуя при этом множество путей в телекоммуникационной сети. При этом немаловажным фактором, определяющим как эффективность использования вычислительных ресурсов серверов, так и ресурсов ТКС, является распределение нагрузки между источниками трафика и, соответственно, множеством используемых путей. В то же время при управлении порядком распределения нагрузки на сервера следует исходить из требований пользователя, запрашивающего ту или иную услугу и ожидающего вполне определенное качество ее предоставления (Quality of Service, QoS). Таким образом, в условиях телекоммуникационных сетей, в которых телекоммуникационная услуга организуется посредством одновременного подключения к множеству серверов (источников трафика), актуальной является задача распределения нагрузки на серверы и доставки соответствующего трафика конечному пользователю с выполнением при этом ряда требований к основным показателям качества обслуживания: задержке, джиттеру, надежности и скорости передачи.

Такая постановка задачи обуславливает необходимость разработки соответствующей математической модели ТКС, в рамках которой исходная задача будет сформулирована и решена как оптимизационная. Однако модель ТКС с множеством источников с целью формализации задачи оптимального управления трафиком должна в обязательном порядке включать в себя математически формализованные условия обеспечения качества обслуживания, предпочтительно в аналитическом виде. Подобного рода условия были получены с использованием методики тензорного моделирования в контексте решения задачи многопутевой маршрутизации для двухполюсной сети [1]. Кроме возможности аналитического учета связи между различными QoS-показателями, как показано в [2], применение этих условий позволило свести к нулю многопутевой джиттер, обусловленный разницей в задержках передачи потоков пакетов вдоль различных путей. Именно данный факт обусловил выбор тензорного анализа сетей в качестве математического аппарата для описания ТКС в режиме «многоточка-точка».

## Тензорное описание многополюсной ТКС

В рамках тензорного подхода ТКС описывается смешанным двухвалентным тензором [1, 2]

$$Q = T \otimes \Lambda, \quad (1)$$

где  $\otimes$  – знак прямого тензорного умножения, компоненты тензора  $Q$  представляют собой одновалентный ковариантный тензор средних задержек пакетов  $T$  и одновалентный контравариантный тензор интенсивности потока пакетов  $\Lambda$ .

Причем тензоры средних задержек пакетов  $T$  и интенсивности потока пакетов  $\Lambda$  связаны между собой тензорными уравнениями вида [1, 2]

$$\Lambda = GT, \quad (2)$$

$$T = E\Lambda, \quad (3)$$

где  $G$  – двухвалентный контравариантный тензор, выполняющий в данном случае роль метрического, т.е. определяющий свойства метрического пространства, связываемого с моделируемой ТКС;  $E$  – двухвалентный ковариантный метрический тензор.

Метрики ТКС, представленные тензорами  $G$  и  $E$ , в рамках описания (1) обеспечивают функциональную связь между координатами тензоров средних задержек пакетов  $T$  и пакетной интенсивности потока  $\Lambda$ . И, например, в системе координат (СК) ветвей при условии моделирования  $i$ -го сетевого интерфейса в виде системы массового обслуживания с отказами вида  $M/M/1/N$  проекцией тензора  $G$  является диагональная матрица  $G_v = \left\| g_v^{ii} \right\|$  размера  $n \times n$ , элементы главной диагонали которой рассчитываются согласно выражению [1]

$$g_{(v)}^{ii} = \frac{(1 - (\rho_{(v)}^i)^{N_i + 1})(1 - \rho_{(v)}^i)(\lambda_{(v)}^i)^2}{\rho_{(v)}^i - (\rho_{(v)}^i)^{N_i + 2} - (N_i + 1)(\rho_{(v)}^i)^{N_i + 1}(1 - \rho_{(v)}^i)}, \quad (4)$$

где индекс  $v$  указывает на принадлежность системе координат ветвей, в рамках которой сеть рассматривается как совокупность  $n$  трактов передачи  $v_i, i = \overline{1, n}$ ;  $\rho_{(v)}^i = \frac{\lambda_{(v)}^i}{\phi_i}$  – коэффициент

загруженности  $i$ -го тракта передачи;  $\lambda_{(v)}^i$  и  $\phi_i$  – интенсивность потока пакетов и пакетная пропускная способность  $i$ -го тракта передачи соответственно.

Методика тензорного моделирования ТКС всецело основывается на постулатах обобщения Г. Крона [3], согласно которым тензорные уравнения (2) и (3) сохраняют свою форму неизменной независимо от координатной системы рассмотрения сети. В общем случае для каждой ТКС существует конечное множество допустимых систем координат ее рассмотрения (или базисов), каждая из которых обеспечивает новую точку зрения на ТКС и позволяет осветить определенные аспекты ее функционирования. Например, в рамках упомянутой выше СК ветвей  $B_v$  ТКС рассматривается как совокупность трактов передачи, а в рамках системы координат контуров и узловых пар  $B_{\langle \pi \eta \rangle}$  – как совокупность  $\mu = n - m + 1$  независимых контуров и  $\phi = n - 1$  узловых пар,  $\phi + \mu = n$ , где  $m$  – число узлов сети. Тогда согласно второму постулату Г. Крона в СК ветвей и в СК контуров и пар узлов тензорное уравнение (2) принимает вид

$$\Lambda_v = G_v T_v, \quad (5)$$

$$\Lambda_{\pi \eta} = G_{\pi \eta} T_{\pi \eta}, \quad (6)$$

где  $G_{\pi\eta}$  – проекция двухвалентного контравариантного метрического тензора  $G$  в СК контуров и узловых пар;  $\Lambda_\nu$  и  $T_\nu$  – проекции тензоров  $\Lambda$  и  $T$  в СК ветвей  $B_\nu$ , элементами которых являются соответственно интенсивности потоков  $\lambda_{(\nu)}^i$  и задержки пакетов  $\tau_i^{(\nu)}$  в трактах передачи сети,  $i = \overline{1, n}$ ;  $\Lambda_{\pi\eta}$  и  $T_{\pi\eta}$  – проекции тензоров интенсивности потоков  $\Lambda$  и задержки пакетов  $T$  в СК  $B_{\langle\pi\eta\rangle}$ ; причем  $\Lambda_\nu$ ,  $\Lambda_{\pi\eta}$ ,  $T_\nu$ ,  $T_{\pi\eta}$  представляют собой векторы размера  $n$ .

Поскольку принятые в рассмотрение базисы ветвей  $B_\nu$  и контуров и узловых пар  $B_{\langle\pi\eta\rangle}$  относятся к одной и той же сети, структура которой предполагается известной и выступает в качестве исходных данных, связь базисов между собой так же известна. Она формализуется в виде так называемых матриц ко- и контравариантного координатного преобразования, которые в полном обозначении выглядят как  $A_\nu^{\langle\pi\eta\rangle}$  и  $C_{\langle\pi\eta\rangle}^\nu$  (в дальнейшем просто  $A$  и  $C$ ). Тогда, имея правила преобразования самих базисов, получаем возможность вычисления координат тензора (проекции тензора) в одной системе координат по известным его координатам в другой системе координат:

$$T_\nu = A T_{\pi\eta}, \quad (9)$$

$$\Lambda_\nu = C \Lambda_{\pi\eta}. \quad (10)$$

Взаимосвязь проекций двухвалентных контравариантных метрических тензоров формализуется следующим образом:

$$G_\nu = C G_{\pi\eta} C^t; \quad G_{\pi\eta} = A^t G_\nu A. \quad (11)$$

В соответствии с рассмотрением сети как совокупности контуров и узловых пар в рамках системы координат  $B_{\langle\pi\eta\rangle}$  элементы полученных в ней проекций  $\Lambda_{\pi\eta}$  и  $T_{\pi\eta}$  могут быть сгруппированы следующим образом:

$$\Lambda_{\pi\eta} = \begin{Bmatrix} \Lambda_\pi \\ \Lambda_\eta \end{Bmatrix}, \quad \Lambda_\pi = \begin{Bmatrix} \lambda_{(\pi)}^1 \\ \vdots \\ \lambda_{(\pi)}^j \\ \vdots \\ \lambda_{(\pi)}^\mu \end{Bmatrix}, \quad \Lambda_\eta = \begin{Bmatrix} \lambda_{(\eta)}^1 \\ \vdots \\ \lambda_{(\eta)}^j \\ \vdots \\ \lambda_{(\eta)}^\phi \end{Bmatrix}, \quad T_{\pi\eta} = \begin{Bmatrix} T_\pi \\ T_\eta \end{Bmatrix}, \quad T_\pi = \begin{Bmatrix} \tau_1^{(\pi)} \\ \vdots \\ \tau_j^{(\pi)} \\ \vdots \\ \tau_\mu^{(\pi)} \end{Bmatrix}, \quad T_\eta = \begin{Bmatrix} \tau_1^{(\eta)} \\ \vdots \\ \tau_j^{(\eta)} \\ \vdots \\ \tau_\phi^{(\eta)} \end{Bmatrix}, \quad (12)$$

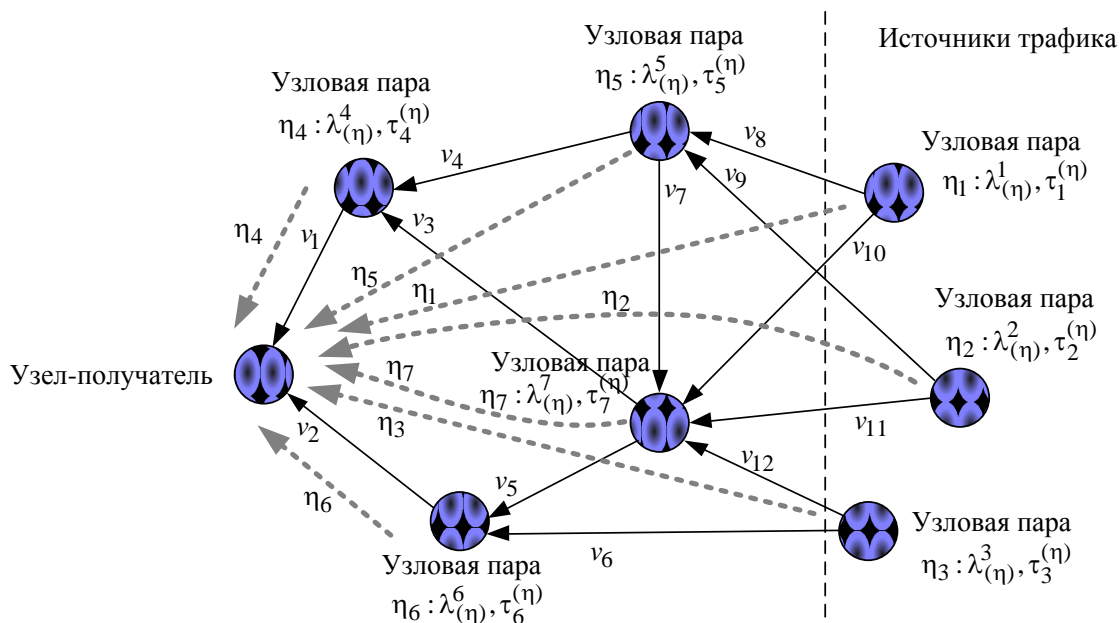
где  $\Lambda_\pi$  и  $T_\pi$  – подвекторы размера  $\mu$ , элементами которых являются контурные компоненты  $\lambda_{(\pi)}^j$  и  $\tau_j^{(\pi)}$  проекций тензоров  $\Lambda$  и  $T$ , относящиеся к базисным контурам сети;  $\Lambda_\eta$  и  $T_\eta$  – подвекторы размера  $\phi$ , элементами которых являются узловые компоненты проекций соответствующих тензоров в СК  $B_{\langle\pi\eta\rangle}$ . При этом узловые компоненты проекции тензора  $\Lambda$  указывают на интенсивность потока пакетов между опорным узлом сети и другими, непопорными узлами данной пары, а узловые компоненты проекции тензора  $T$  отражают наблюдаемую при этом задержку (рисунок).

Таким образом, исходя из физического смысла введенных обозначений, можно сделать следующие выводы:

1) с целью исключения петель в маршрутах передачи потоков все элементы вектора  $T_\pi$  должны быть равны нулю, т.е.  $\tau_j^{(\pi)} = 0$ ;

2) если в  $j$ -й узловой пара один из узлов является источником трафика, а другой – его получателем, то величина  $\lambda_{(\eta)}^j$  указывает на интенсивность потока для этой пары;

3) если  $j$ -я узловая пара не содержит узел-источник, то соответствующая величина  $\lambda_{(\eta)}^j$  должна быть приравнена нулю.



Пример многополюсной ТКС и ее базисные узловые пары

### Условия обеспечения качества обслуживания в многополюсной ТКС

Рассмотрим в рамках тензорной модели (1) – (12) задачу гарантированного обеспечения качества обслуживания в ТКС для многополюсного случая. В качестве исходных данных выступают:

- 1) исходная структура ТКС, что позволяет сформировать матрицы координатного преобразования  $A$  и  $C$ ;
- 2) пропускные способности трактов передачи и размеры буферной емкости на узлах сети, что необходимо для формирования матриц проекций метрических тензоров в СК ветвей;
- 3) модели самого трафика и процесса его обслуживания на узлах сети, которые определяют правила формирования матрицы проекций метрических тензоров в СК ветвей;
- 4) направление передачи с указанием множества источников трафика и одного получателя;
- 5) требования к основным показателям качества обслуживания трафика, задаваемые в виде требуемой скорости передачи потока  $\lambda^{(прб)}$  и допустимой средней задержки  $\tau_{(дон)}$ .

С целью вывода условий обеспечения качества обслуживания в многополюсной ТКС запишем уравнение (6) в следующем виде

$$\left\| \begin{array}{c} \Lambda_{\pi} \\ \Lambda_{\eta} \end{array} \right\| = \left\| \begin{array}{c|c} G_{\pi\eta}^{(1)} & G_{\pi\eta}^{(2)} \\ \hline G_{\pi\eta}^{(3)} & G_{\pi\eta}^{(4)} \end{array} \right\| \cdot \left\| \begin{array}{c} T_{\pi} \\ T_{\eta} \end{array} \right\|, \quad (13)$$

где  $\left\| \begin{array}{c|c} G_{\pi\eta}^{\langle 1 \rangle} & G_{\pi\eta}^{\langle 2 \rangle} \\ \hline G_{\pi\eta}^{\langle 3 \rangle} & G_{\pi\eta}^{\langle 4 \rangle} \end{array} \right\| = G_{\pi\eta}$ , причем  $G_{\pi\eta}^{\langle 1 \rangle}$ ,  $G_{\pi\eta}^{\langle 4 \rangle}$  – квадратные подматрицы размера  $\mu \times \mu$  и  $\phi \times \phi$  соответственно,  $G_{\pi\eta}^{\langle 2 \rangle}$  – подматрица размера  $\mu \times \phi$ ,  $G_{\pi\eta}^{\langle 3 \rangle}$  – подматрица размера  $\phi \times \mu$ .

На основании (13) с учетом обоснованного выше требования  $\tau_j^{(\pi)}=0$  (или, что равнозначно  $T_\pi=0$ ) имеет место соотношение

$$\Lambda_\eta = G_{\pi\eta}^{\langle 4 \rangle} T_\eta. \quad (14)$$

Как было отмечено, вектор  $\Lambda_\eta$  содержит как нулевые, так и ненулевые компоненты. Условимся при формировании базиса контуров и узловых пар начинать нумерацию с узловых пар, образованных источниками трафика и получателем, тогда вектор узловых компонент проекции тензора интенсивностей потоков в СК контуров и узловых пар имеет следующую структуру

$$\Lambda_\eta = \left\| \lambda_{(\eta)}^1 \quad \dots \quad \lambda_{(\eta)}^k \quad 0 \quad \dots \quad 0 \right\|^t, \quad (15)$$

где  $k$  – число узловых пар, образованных источниками трафика и получателем.

Причем в соответствии с исходными данными суммарная интенсивность трафика, поступающего от множества источников, должна обеспечивать скоростные требования к качеству обслуживания, т.е.

$$\sum_{j=1}^k \lambda_{(\eta)}^j = \lambda^{\langle mp\delta \rangle} \quad \text{или} \quad \sum_{j=1}^k \lambda_{(\eta)}^j \geq \lambda^{\langle mp\delta \rangle}. \quad (16)$$

С другой стороны, компоненты вектора  $T_\eta$  связаны с временными показателями качества обслуживания: первые ее  $k$  элементов  $\tau_1^{(\eta)}, \dots, \tau_k^{(\eta)}$  содержат требования к межконцевой средней задержке  $\tau_{\langle don \rangle}$ , при этом остальные элементы вектора  $T_\eta$  являются неизвестными.

Таким образом, векторы  $\Lambda_\eta$  и  $T_\eta$  могут быть разделены на подвекторы следующим образом

$$\Lambda_\eta = \left\| \begin{array}{c} \Lambda_\eta^{\langle k \rangle} \\ \hline \Lambda_\eta^{\langle \phi-k \rangle} \end{array} \right\|, \quad T_\eta = \left\| \begin{array}{c} T_\eta^{\langle k \rangle} \\ \hline T_\eta^{\langle \phi-k \rangle} \end{array} \right\|,$$

где  $\Lambda_\eta^{\langle k \rangle}$  и  $T_\eta^{\langle k \rangle}$  – векторы размера  $k$ , элементы которых относятся к узловым парам, образованным источниками трафика и получателем.

Тогда выражение (14) может быть преобразовано к виду

$$\left\| \begin{array}{c} \Lambda_\eta^{\langle k \rangle} \\ \hline \Lambda_\eta^{\langle \phi-k \rangle} \end{array} \right\| = \left\| \begin{array}{c|c} G_{\pi\eta}^{\langle 4,1 \rangle} & G_{\pi\eta}^{\langle 4,2 \rangle} \\ \hline G_{\pi\eta}^{\langle 4,3 \rangle} & G_{\pi\eta}^{\langle 4,4 \rangle} \end{array} \right\| \cdot \left\| \begin{array}{c} T_\eta^{\langle k \rangle} \\ \hline T_\eta^{\langle \phi-k \rangle} \end{array} \right\|, \quad (17)$$

где  $\left\| \begin{array}{c|c} G_{\pi\eta}^{\langle 4,1 \rangle} & G_{\pi\eta}^{\langle 4,2 \rangle} \\ \hline G_{\pi\eta}^{\langle 4,3 \rangle} & G_{\pi\eta}^{\langle 4,4 \rangle} \end{array} \right\| = G_{\pi\eta}^{\langle 4 \rangle}$ , причем  $G_{\pi\eta}^{\langle 4,1 \rangle}$  – квадратная матрица размера  $k \times k$   $G_{\pi\eta}^{\langle 4 \rangle}$ .

На основании выражения (15) и подставляя  $\Lambda_{\eta}^{\langle \phi-k \rangle} = 0$ , получим

$$\Lambda_{\eta}^{\langle k \rangle} = \left( G_{\pi\eta}^{\langle 4,1 \rangle} - G_{\pi\eta}^{\langle 4,2 \rangle} \left[ G_{\pi\eta}^{\langle 4,4 \rangle} \right]^{-1} G_{\pi\eta}^{\langle 4,3 \rangle} \right) T_{\eta}^{\langle k \rangle}. \quad (18)$$

Выражение (16) определяет количественную взаимосвязь между интенсивностью трафика, поступающего от каждого из  $k$  источников, и наблюдаемой при этом задержкой. Тогда с учетом заданных требований, содержащихся в векторах  $\Lambda_{\eta}^{\langle k \rangle}$  и  $T_{\eta}^{\langle k \rangle}$ , имеем следующее неравенство

$$\Lambda_{\eta}^{\langle k \rangle} \leq \left( G_{\pi\eta}^{\langle 4,1 \rangle} - G_{\pi\eta}^{\langle 4,2 \rangle} \left[ G_{\pi\eta}^{\langle 4,4 \rangle} \right]^{-1} G_{\pi\eta}^{\langle 4,3 \rangle} \right) T_{\eta}^{\langle k \rangle}, \quad (19)$$

выполнение которого совместно с выполнением одного из условий (16) гарантирует достижение заданных значений скоростных и временных показателей качества обслуживания.

### Выводы

В статье предложена тензорная модель многополюсной ТКС, в которой предполагается одновременная передача потоков пакетов от множества источников, будь то серверы или равные по рангу узлы сети, образующие в совокупности единую инфокоммуникационную систему. В рамках тензорной формализации удалось получить для таких сетей условия обеспечения качества обслуживания одновременно по двум показателям – скорости передачи и средней задержке, представленные в аналитическом виде. Полученные условия позволяют решить следующие две задачи управления трафиком в многополюсной ТКС с QoS: задачу многопутевой маршрутизации трафика от множества источников к одному получателю, где в качестве заданных величин выступают величины интенсивности потоков, создаваемых каждым из источников, а в качестве неизвестных величин рассматриваются интенсивности потоков пакетов в отдельных трактах передачи сети; а также задачу распределения нагрузки между серверами и многопутевой маршрутизации, в которой оба типа величин являются неизвестными и подлежат расчету.

**Список литературы:** 1. Лемешко, А.В., Евсеева, О.Ю. Тензорная модель многопутевой маршрутизации с гарантиями качества обслуживания одновременно по множеству разнородных показателей // Проблемы телекоммуникаций. – 2012. – № 4 (9). – С. 16 - 31. – Режим доступа: [http://pt.journal.kh.ua/2012/4/1/124\\_lemeshko\\_tensor.pdf](http://pt.journal.kh.ua/2012/4/1/124_lemeshko_tensor.pdf). 2. Лемешко, А.В., Евсеева, О.Ю., Гаркуша, С.В. Результаты исследования тензорной модели многопутевой маршрутизации с обеспечением качества обслуживания в телекоммуникационных сетях // Вестник южно-уральского гос. ун-та : Серия «Компьютерные технологии, управление, радиоэлектроника». – 2013. – Т.13, №4. – С. 38 – 54. 3. Крон, Г. Тензорный анализ сетей. – М. : Сов. радио, 1978. – 719 с.

Харьковский национальный  
университет радиоэлектроники

Поступила в редколлегию 05.10.2013